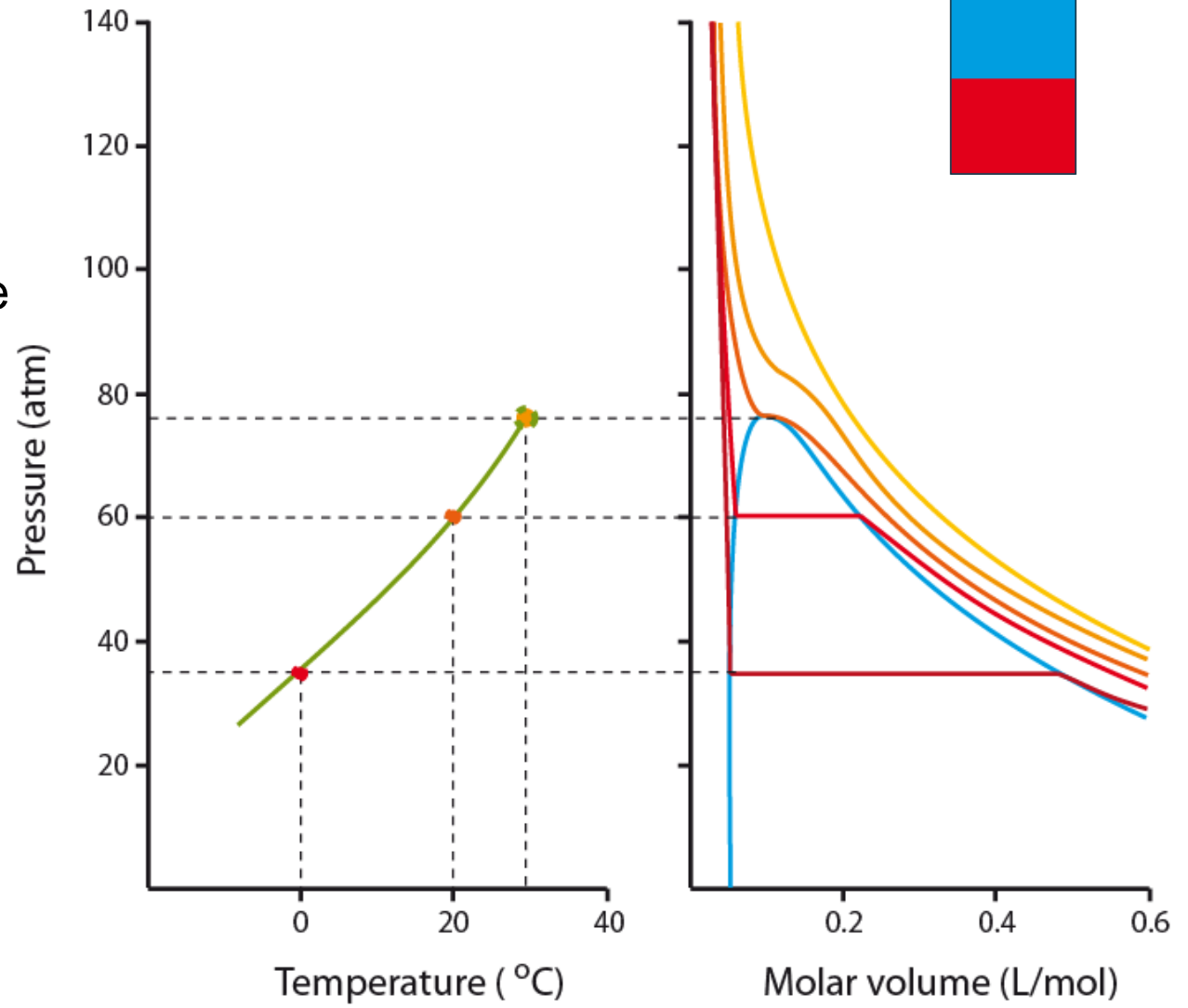


Fasenevenwichten van mengsels

Vloeistof-dampevenwichten

Zuivere stoffen

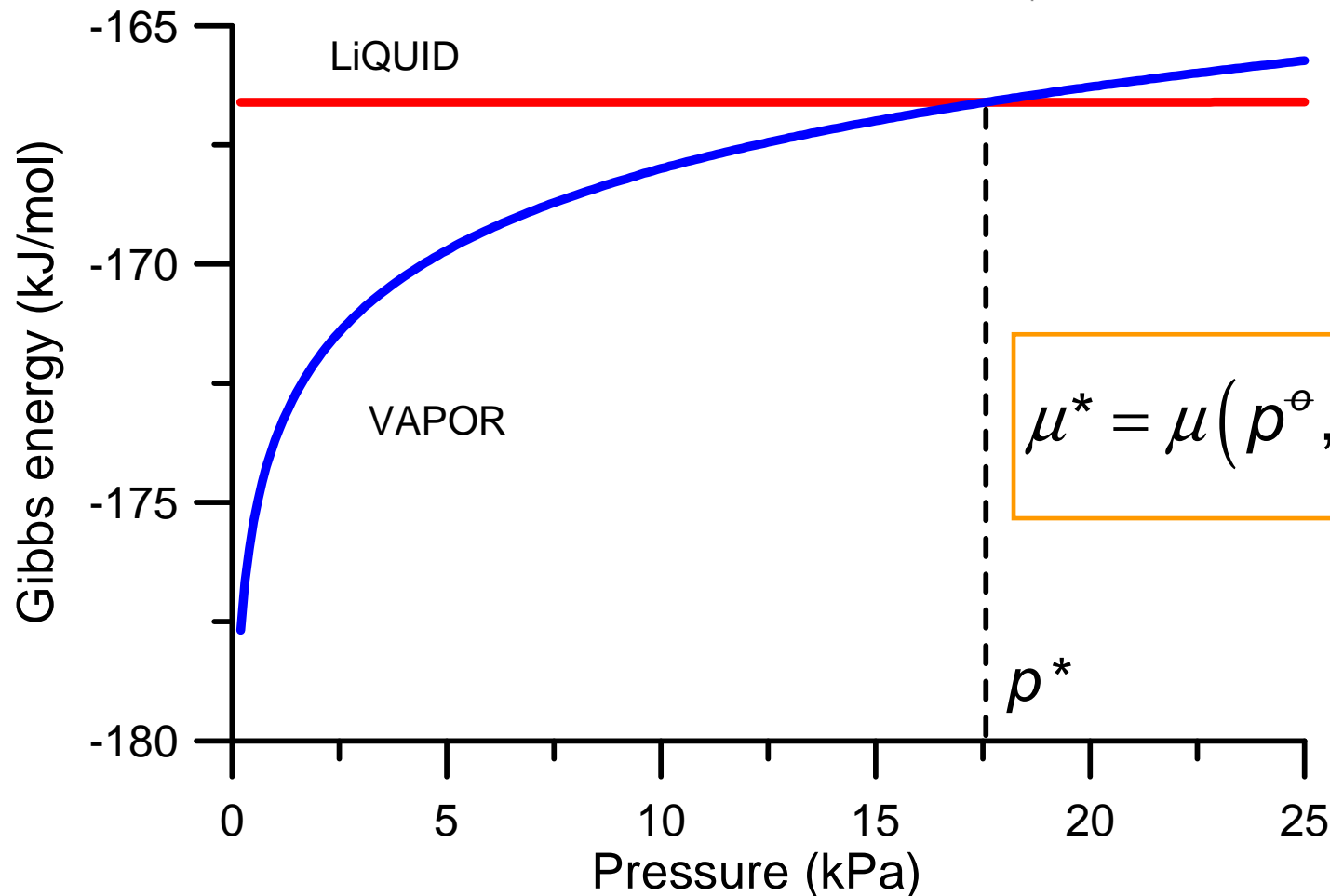
- dampspanning
- extensieve variabele
 - 2-fasengebied
- “hefboom”-regel



Vloeistof-dampevenwichten

Dampspanning (voorbeeld methanol)

Form	$\Delta_f G^\ominus$ (kJ/mol)	S^\ominus (J/(K mol))	V_m (cm ³ /mol)
liquid	-166.6	126.8	40.5
vapor	-162.3	239.9	—



$$\mu^* = \mu(p^\ominus, T) + RT \ln \frac{p^*}{p^\ominus}$$

Vloeistof-dampevenwichten

Dampmengsels

Wet van Dalton

$$p_j = y_j p$$

Molfractie

$$y_j = \frac{n_j}{n}$$

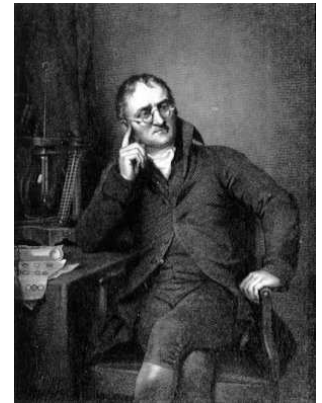
Partiële druk

$$p_j = \frac{n_j RT}{V}$$

Vloeistofmengsels

Molfractie

$$x_j = \frac{n_j}{n}$$



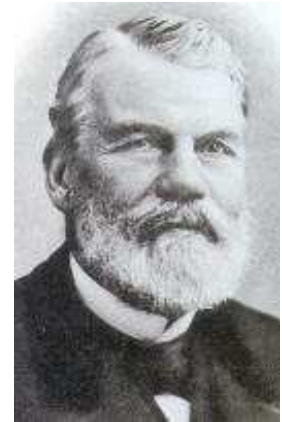
John Dalton (1766 – 1844)



Vloeistof-dampevenwichten

Kooklijn: wet van Raoult

$$p_j = x_j p_j^*$$



François Raoult (1830 – 1901)

Chemische potentiaal is hetzelfde $\mu_{j,v} = \mu_{j,l}$

Voor de vloeistof: $\mu_{j,l} = \mu_{j,l}^\ominus + RT \ln x_j$

Voor de damp: $\mu_{j,v} = \mu_{j,v}^\ominus + RT \ln \frac{p_j}{p^\ominus}$

$$\mu_{j,l}^\ominus + RT \ln x_j = \mu_{j,v}^\ominus + RT \ln \frac{p_j}{p^\ominus}$$

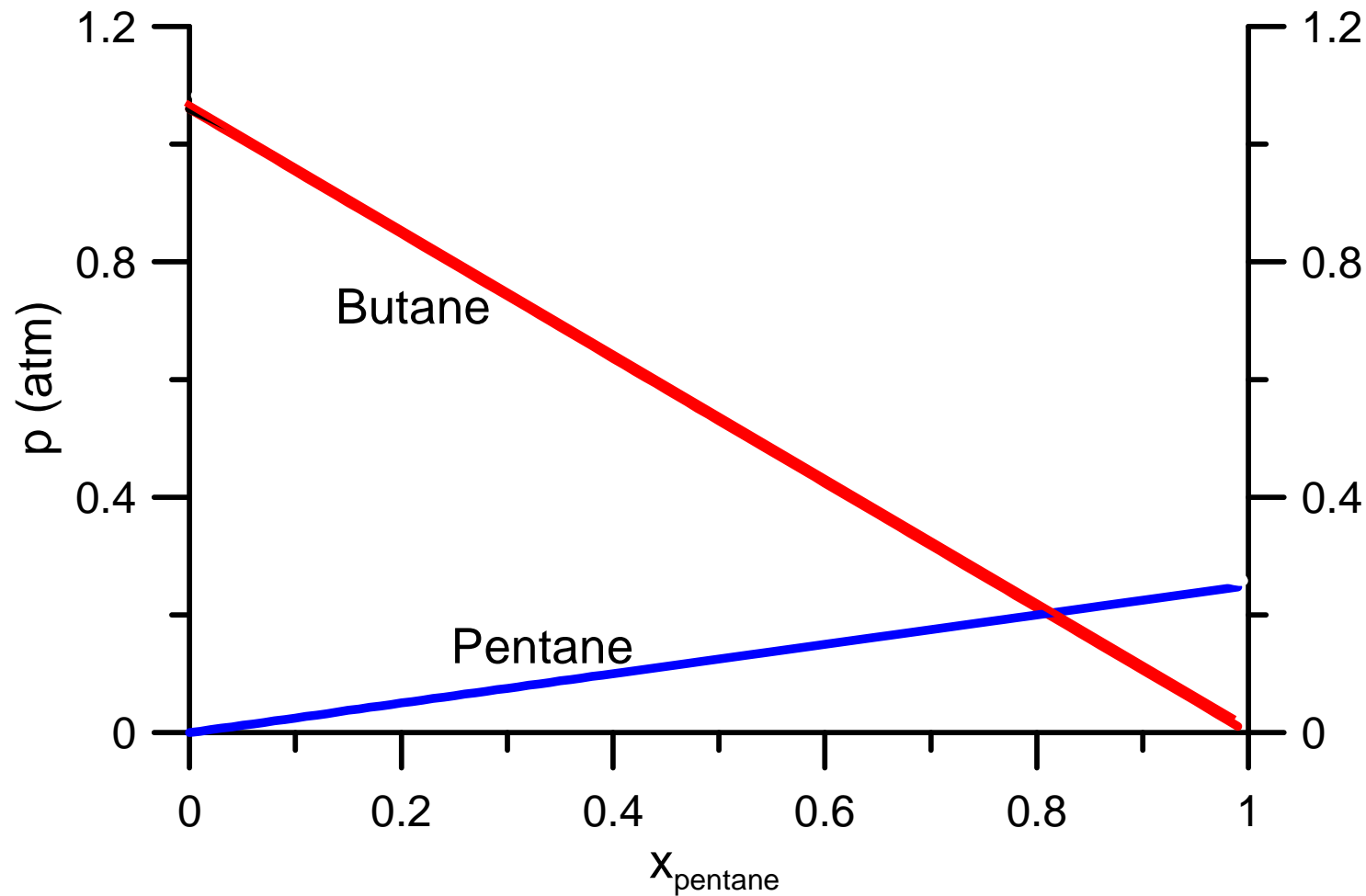
Voor de zuivere vloeistof: $\mu_{j,l}^\ominus = \mu_{j,v}^\ominus + RT \ln \frac{p^*}{p^\ominus}$

Vloeistof-dampevenwichten

Kooklijn: wet van Raoult $p_j = x_j p_j^*$



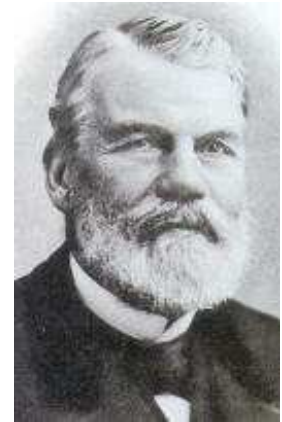
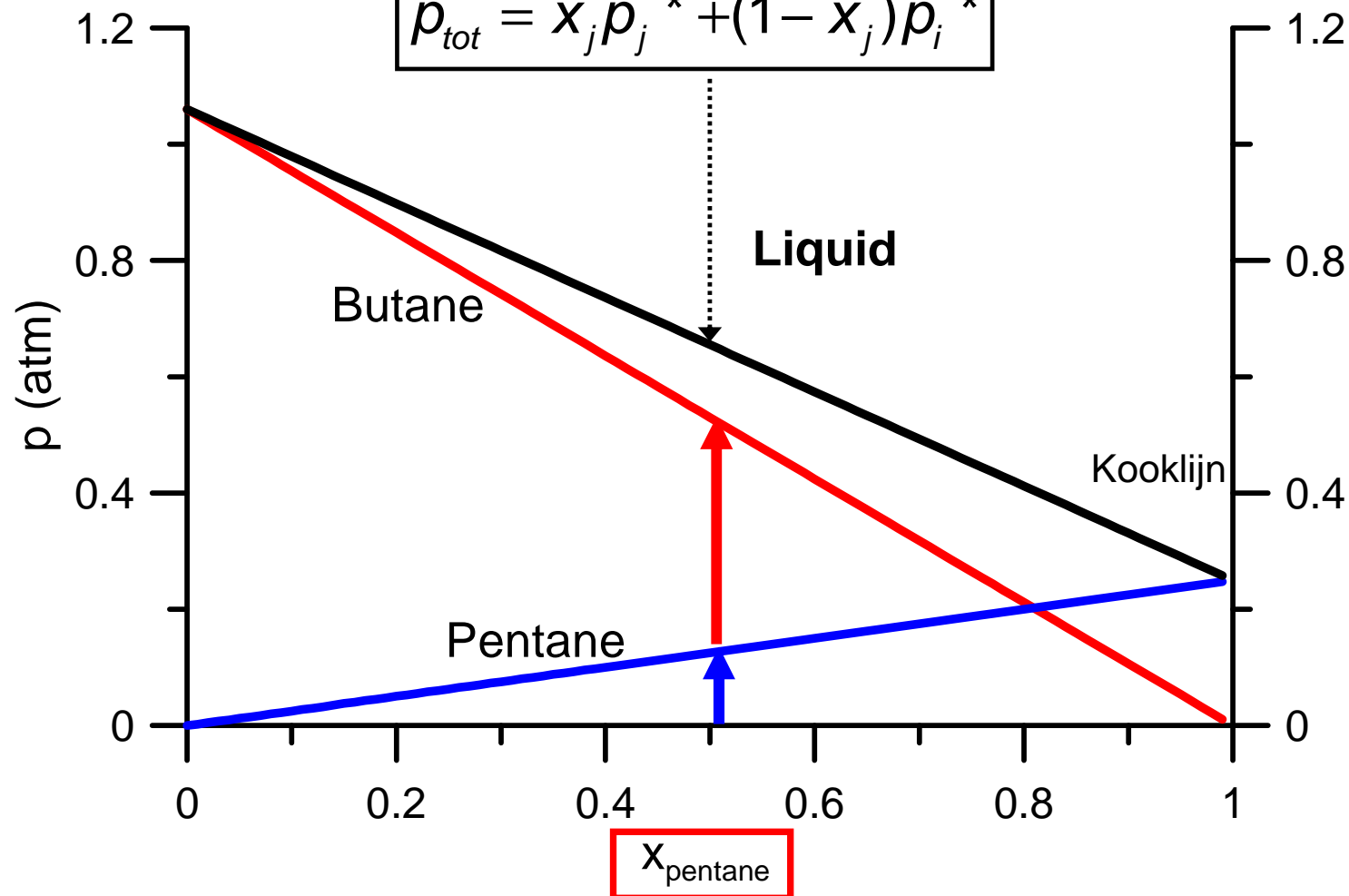
François Raoult (1830 – 1901)



Vloeistof-dampevenwichten

Kooklijn: wet van Raoult $p_j = x_j p_j^*$

$$p_{tot} = x_j p_j^* + (1 - x_j) p_i^*$$



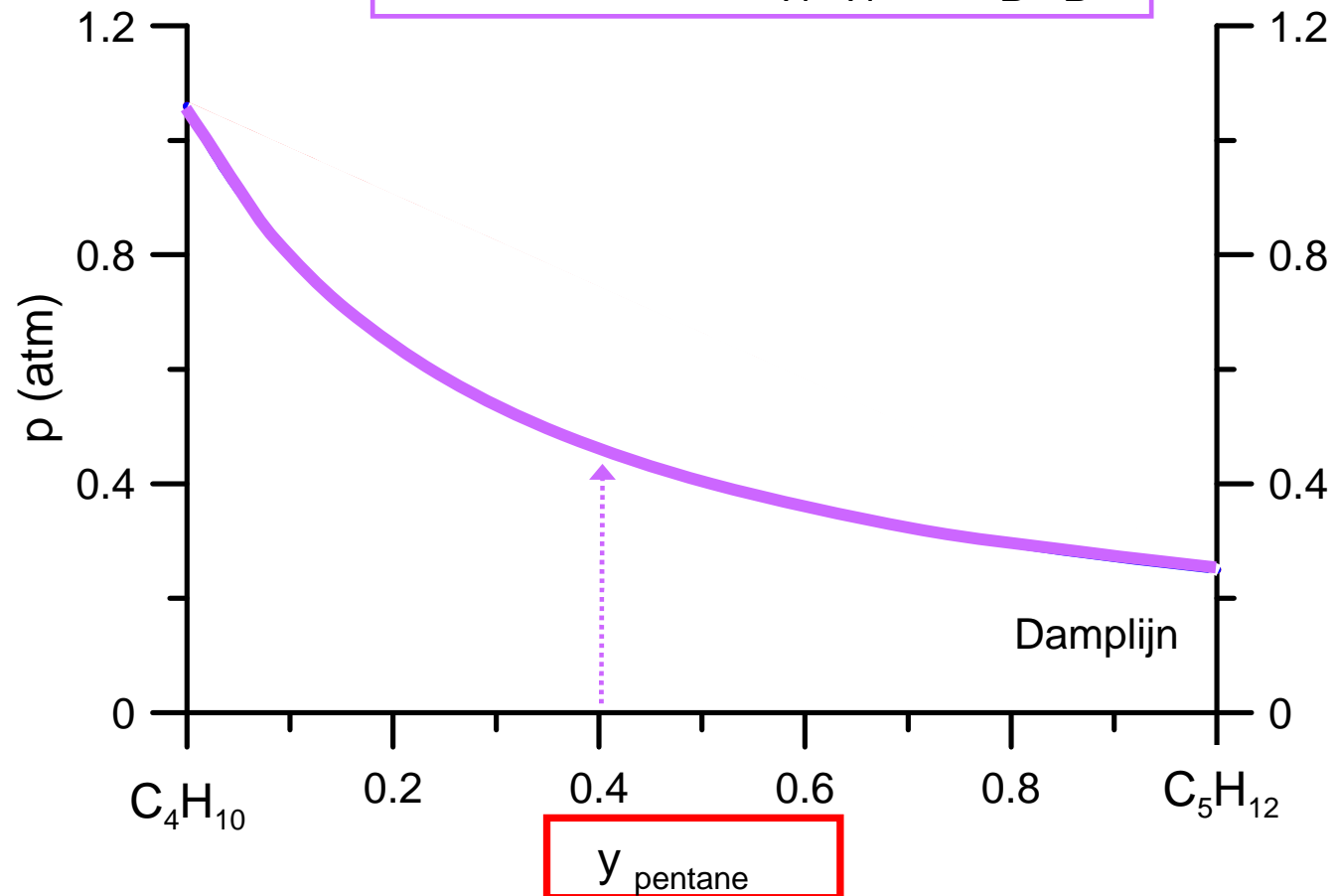
François Raoult (1830 – 1901)

Vloeistof-dampevenwichten

$$p_j = x_j p_j^* \quad p = p_A + p_B = x_A p_A^* + x_B p_B^*$$

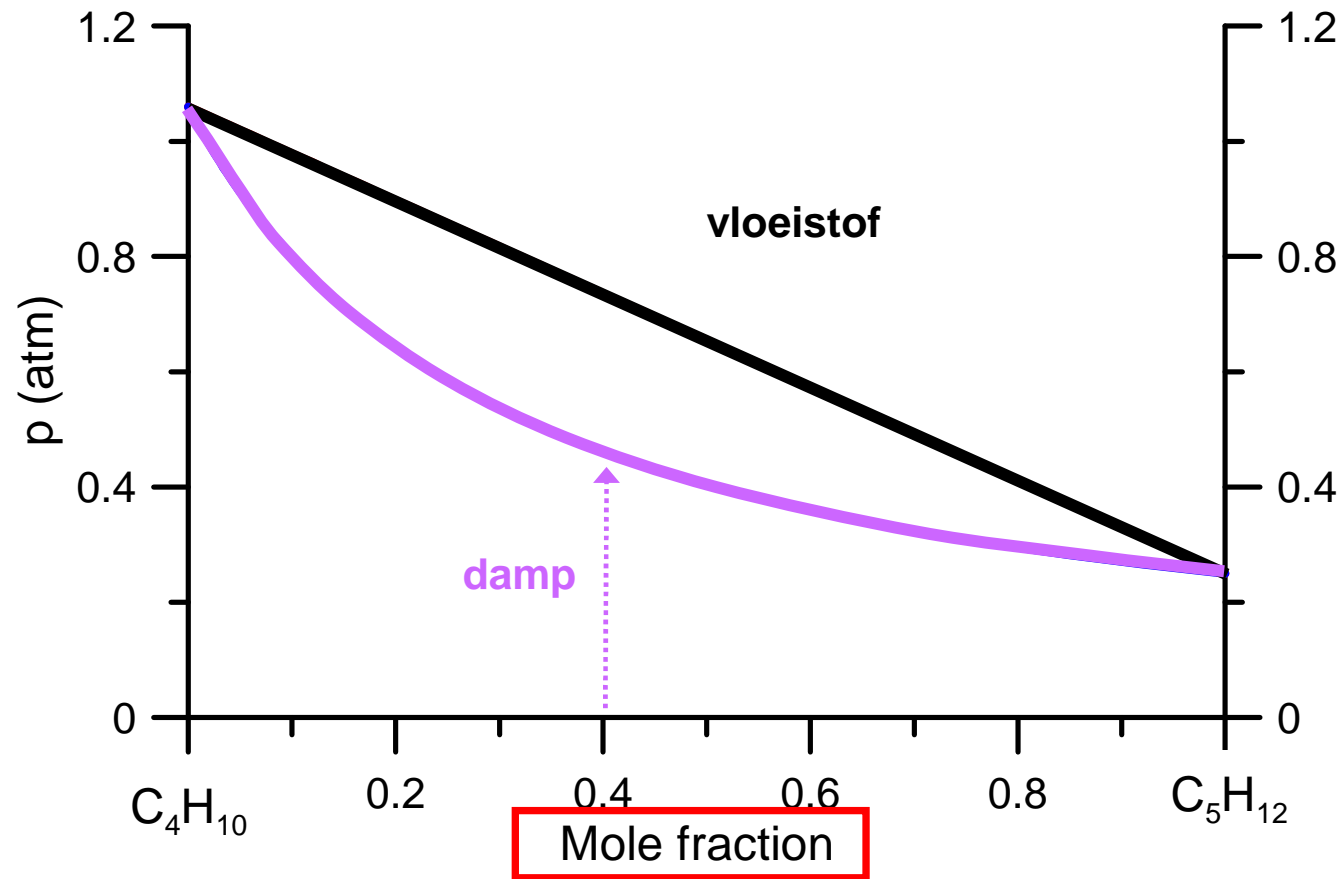
Damplijn:

$$y_j = \frac{x_j p_j^*}{p} = \frac{x_j p_j^*}{x_A p_A^* + x_B p_B^*}$$

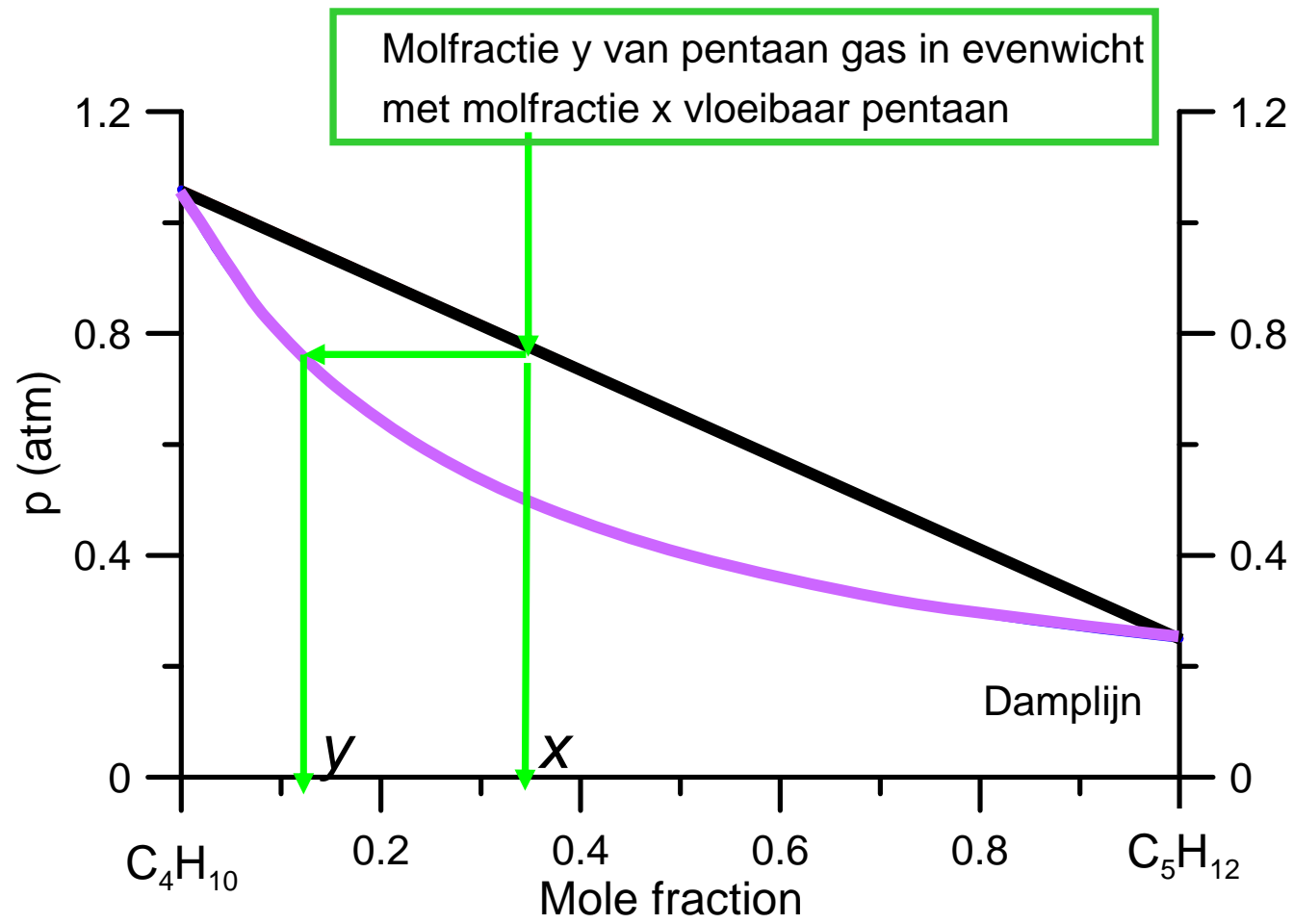


Vloeistof-dampevenwichten

$$p_j = x_j p_j^* \quad p = p_A + p_B = x_A p_A^* + x_B p_B^*$$



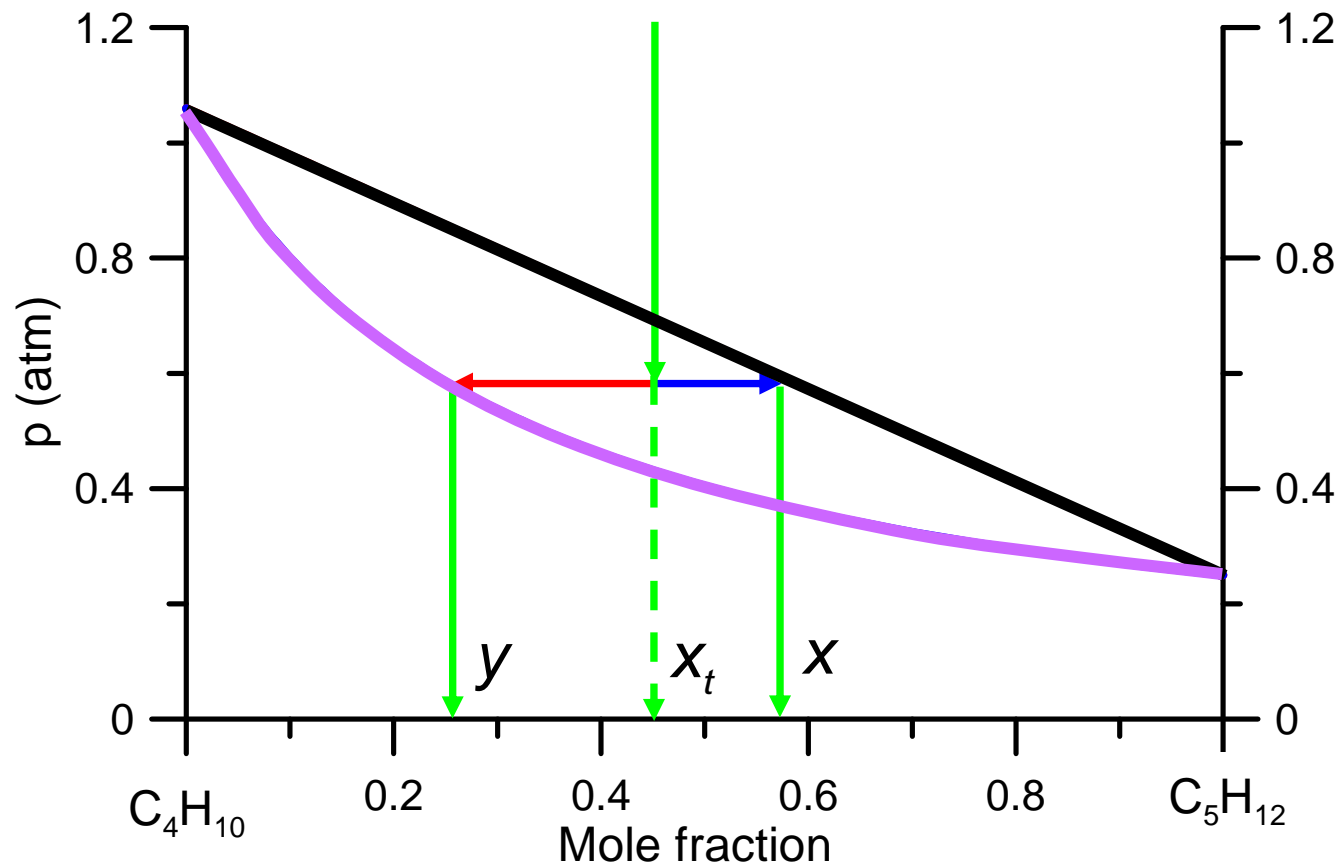
Vloeistof-dampevenwichten



Vloeistof-dampevenwichten

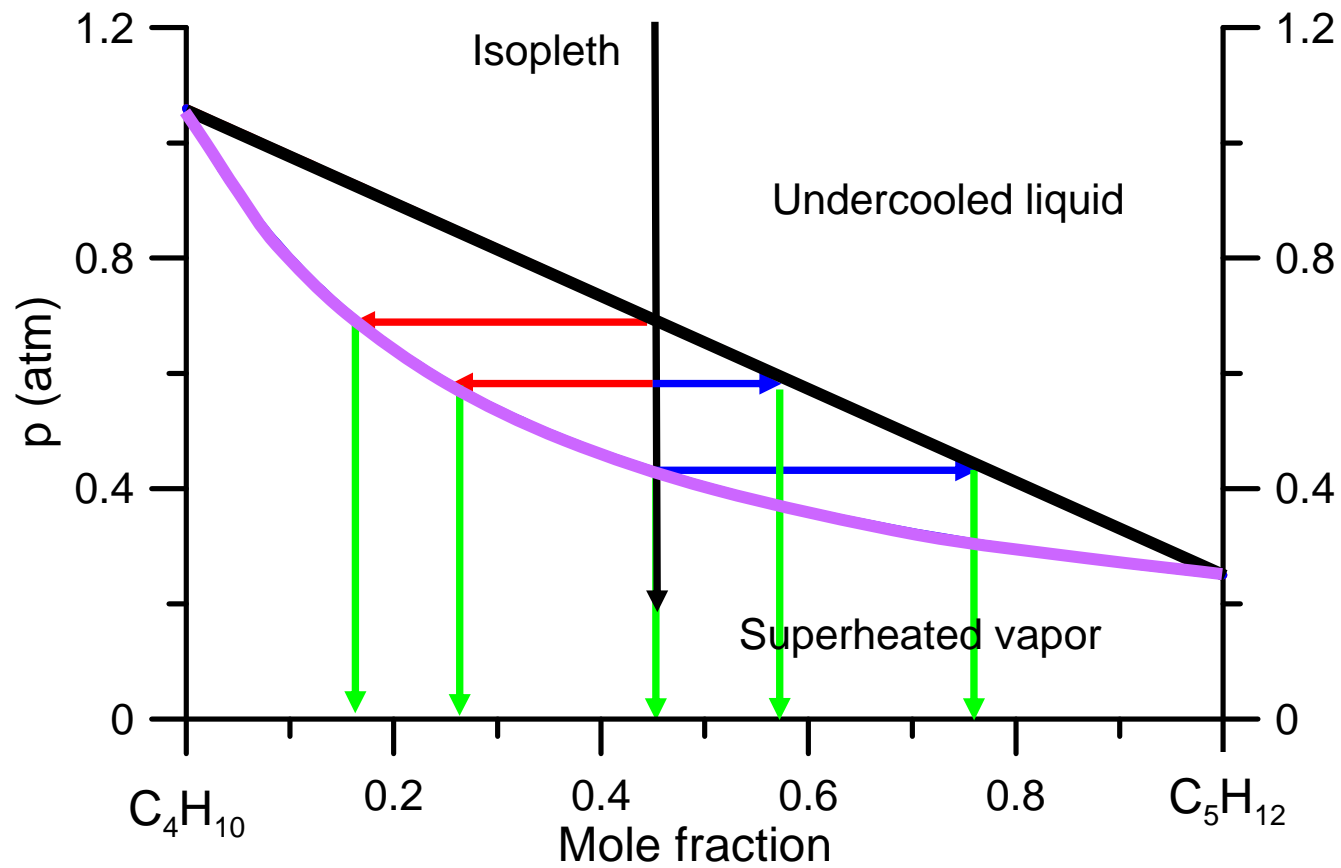
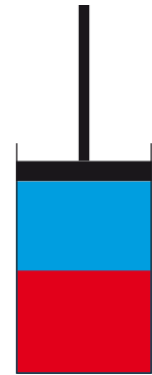
Hefboomregel (lever rule)

$$\frac{n_v}{n_l} = \frac{x_t - x}{y - x_t}$$



Vloeistof-dampevenwichten

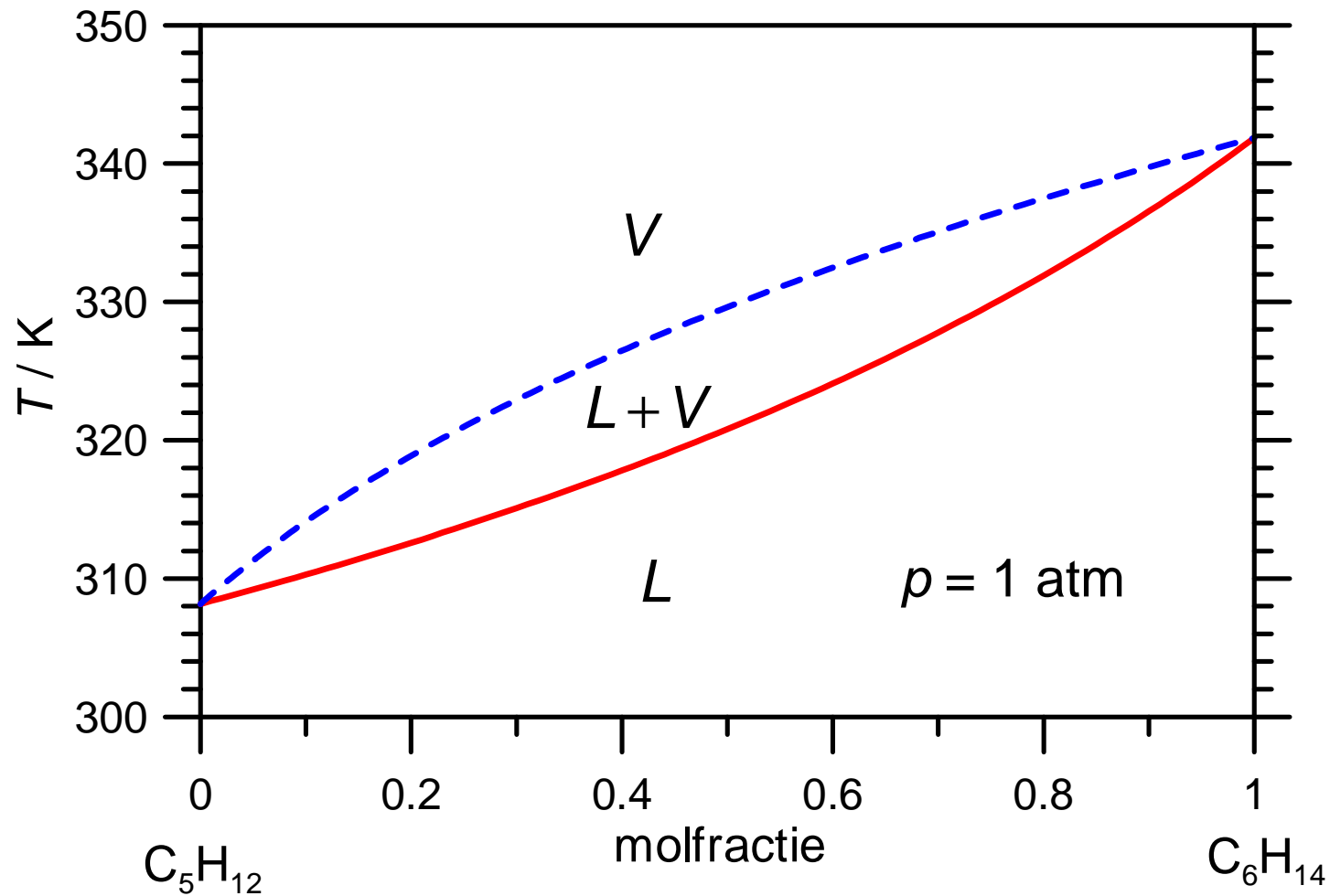
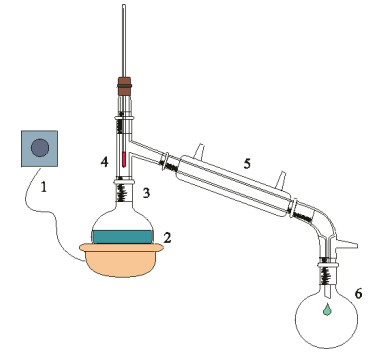
Verdamping door decompressie: interpretatie P-x-diagram



Nodal lines

Vloeistof-dampevenwichten

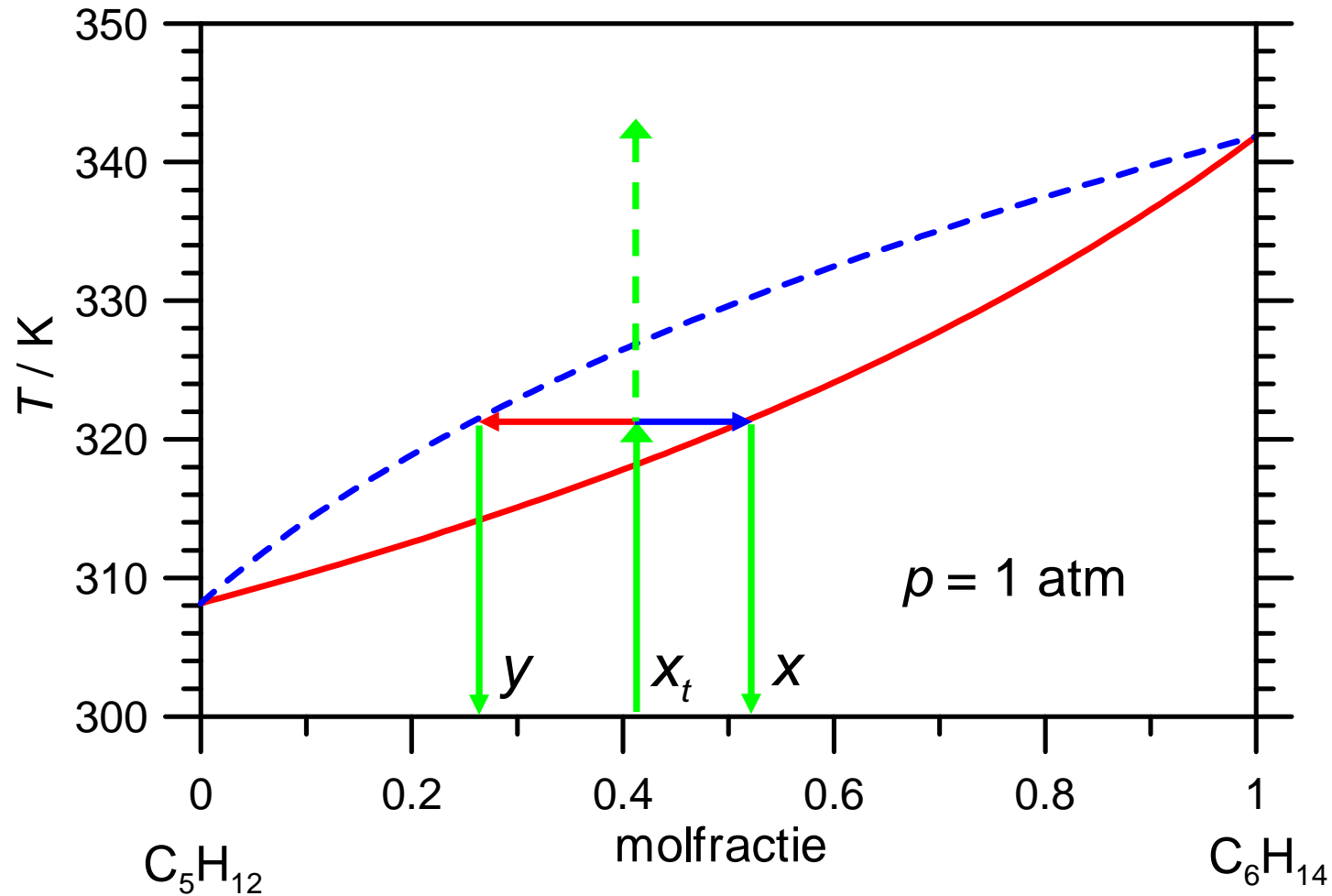
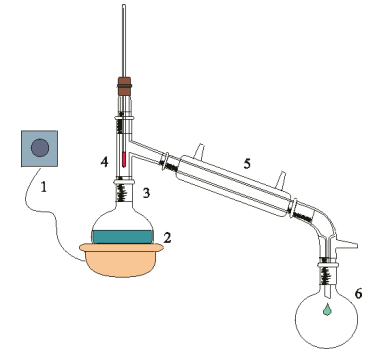
Interpretatie **T-x-diagram**: fasengebieden



Vloeistof-dampevenwichten

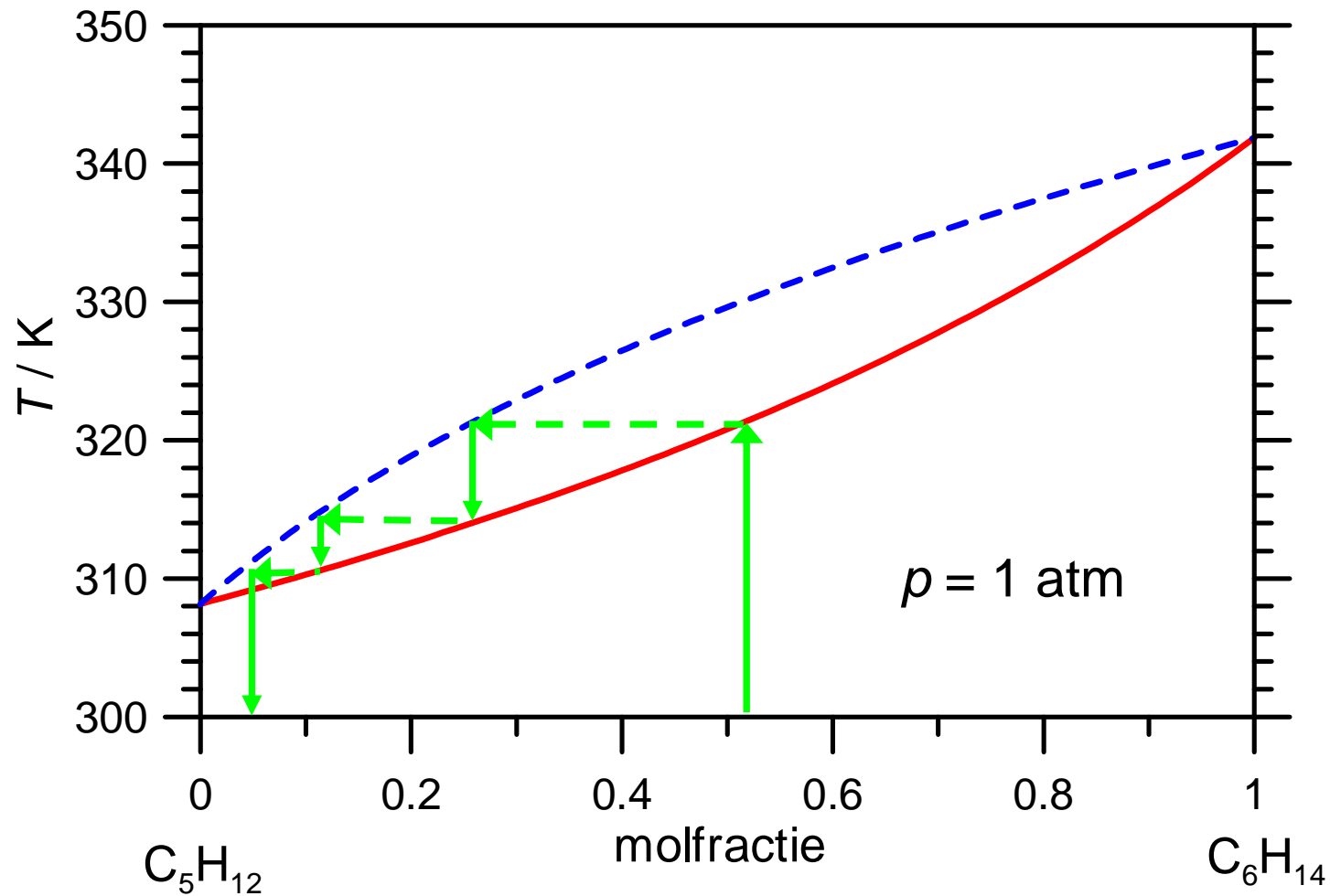
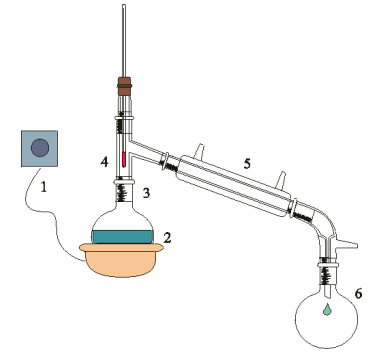
Interpretatie T-x-diagram: hefboomregel

$$\frac{n_v}{n_l} = \frac{x_t - x}{y - x_t}$$



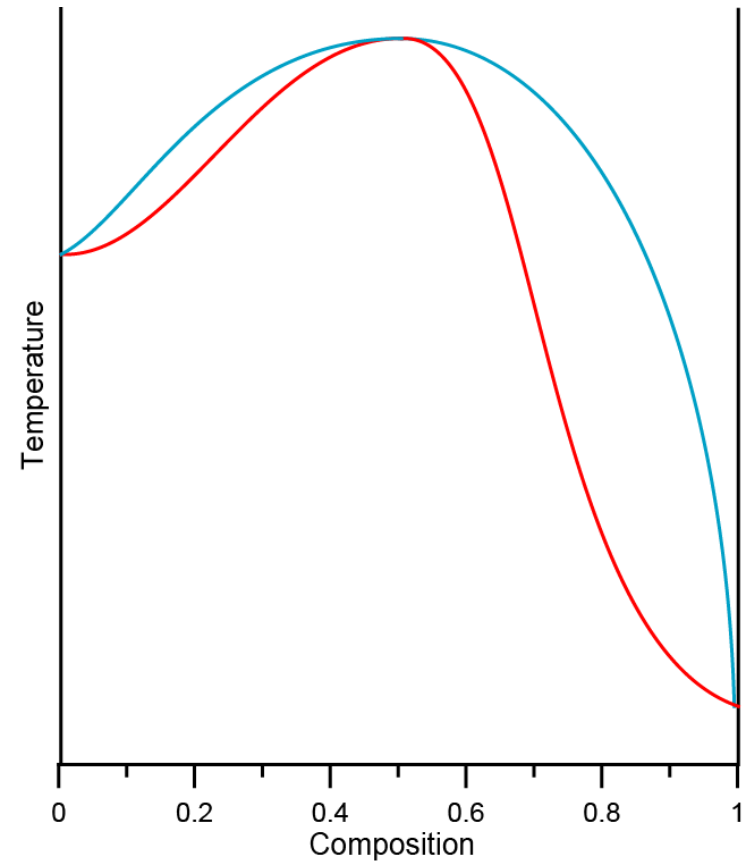
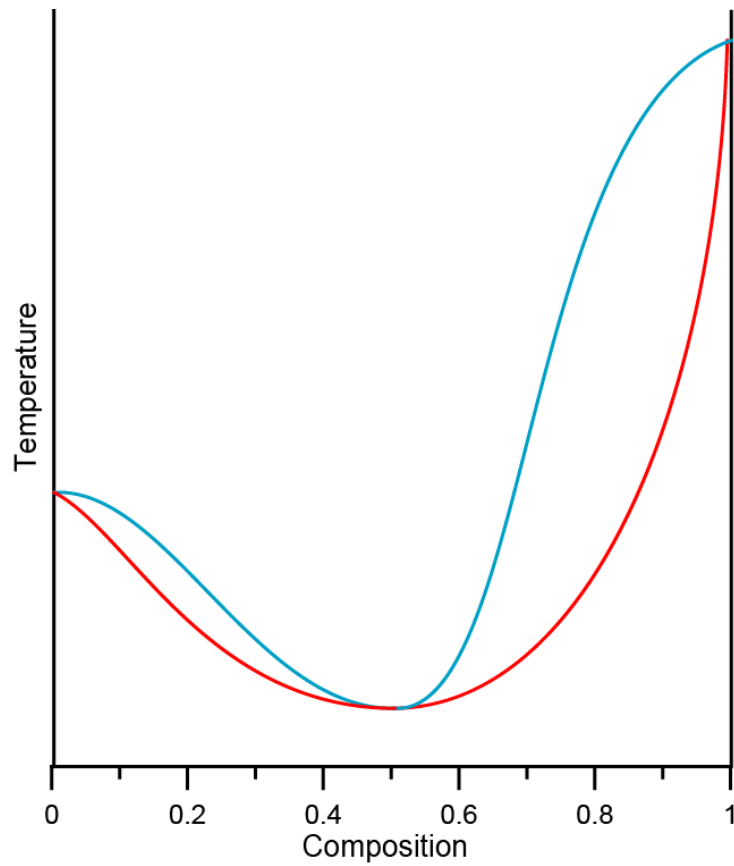
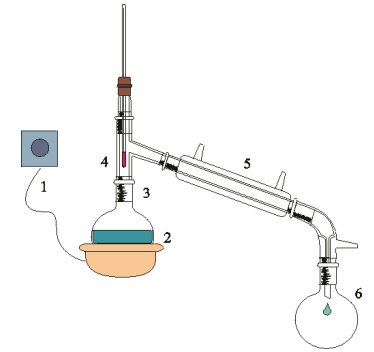
Vloeistof-dampevenwichten

Interpretatie T-x-diagram: destillatie



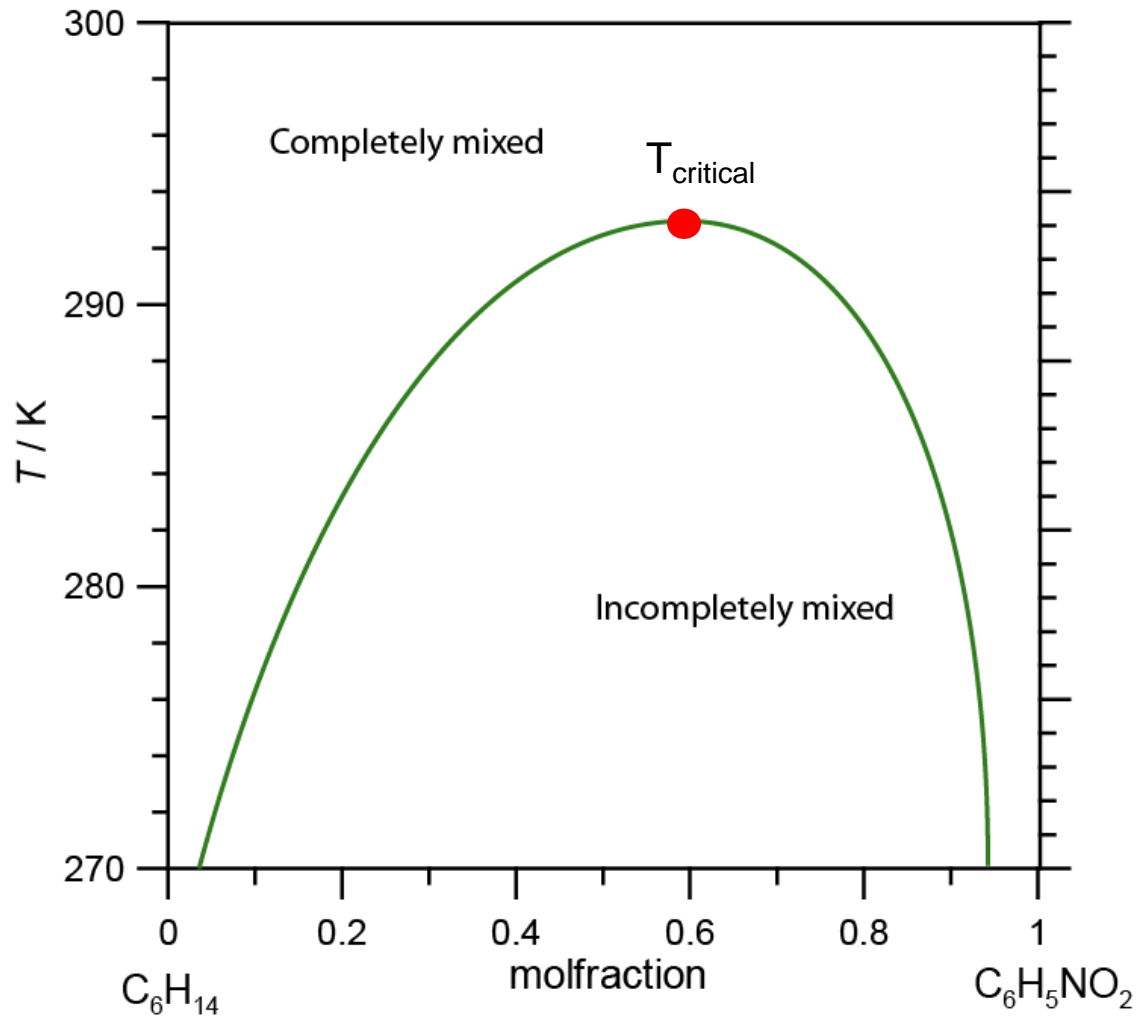
Vloeistof-dampevenwichten

Niet-lineariteiten: azeotropie



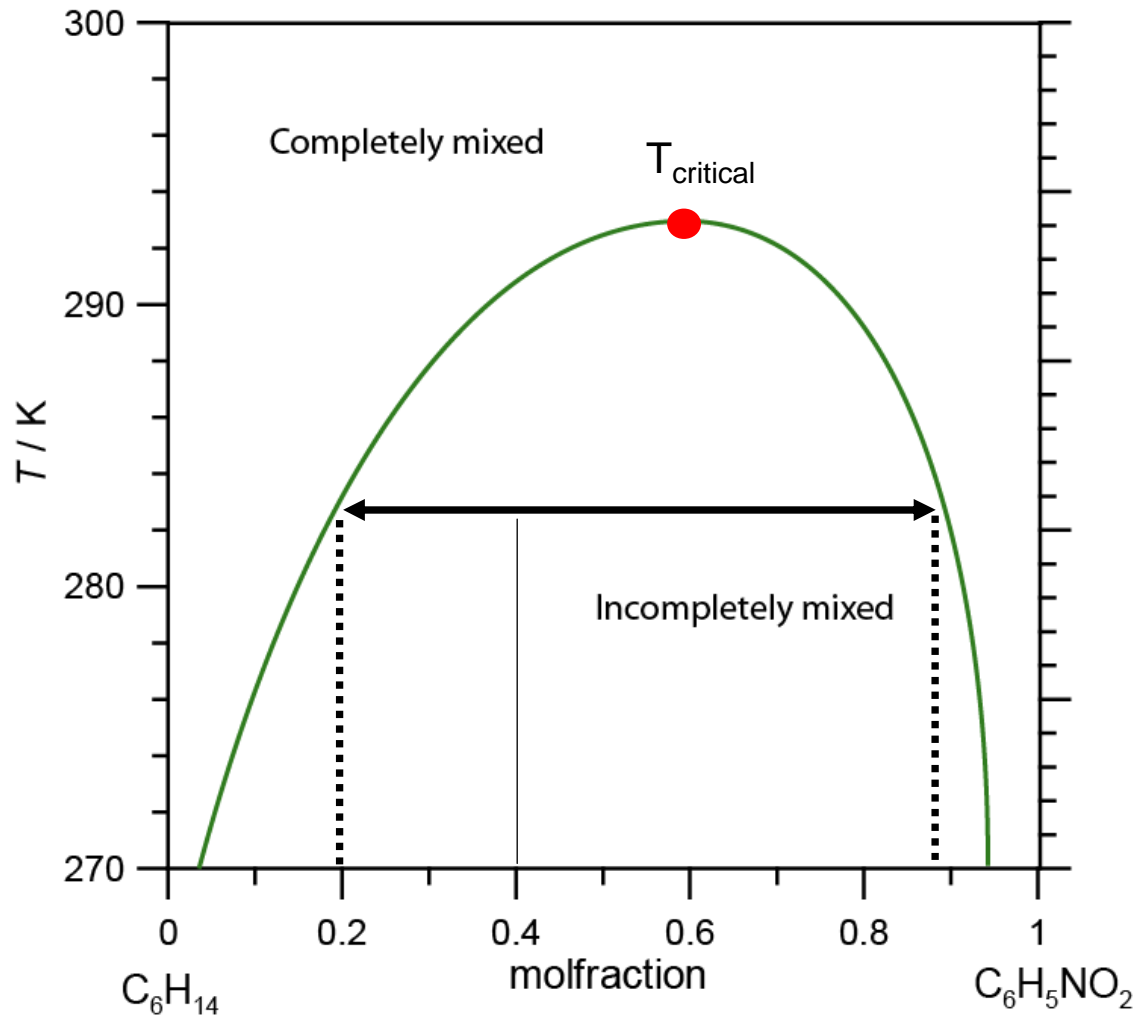
Vloeistof-vloeistof-evenwichten

Gedeeltelijke mengbaarheid (nitrobenzeen in hexaan)



Vloeistof-vloeistof-evenwichten

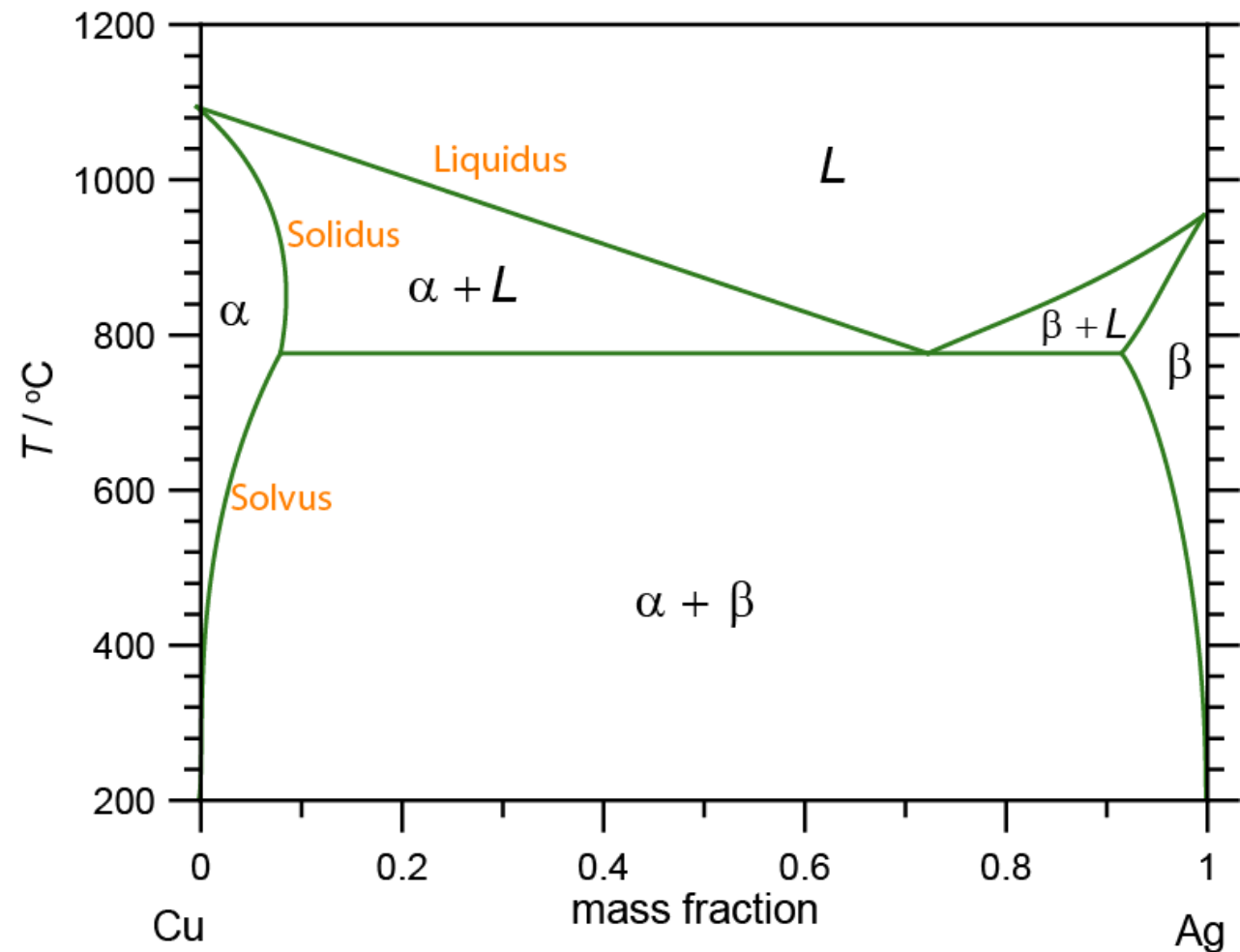
Gedeeltelijke mengbaarheid (nitrobenzeen in hexaan)



Vloeistof-vast-evenwichten

Kenmerken

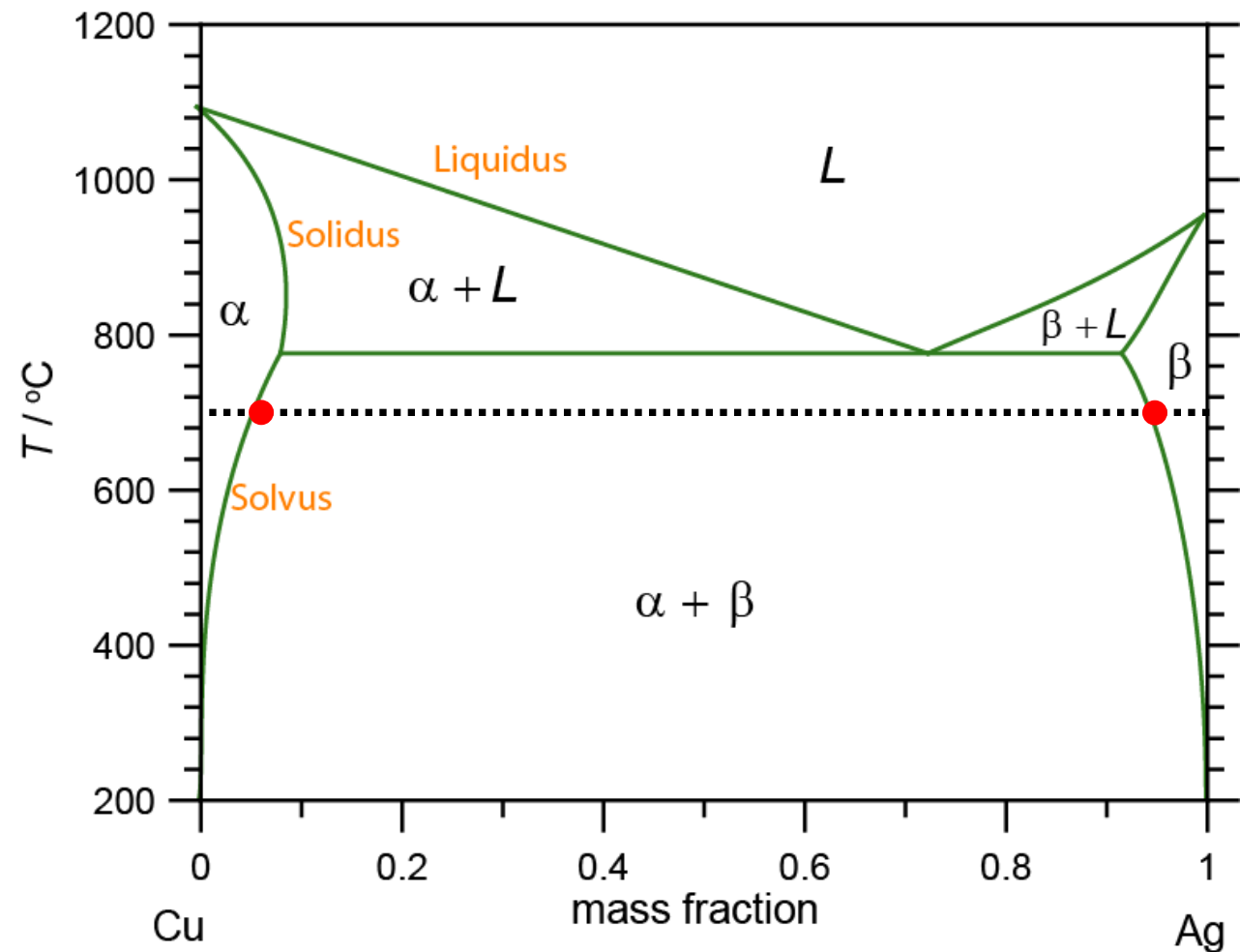
- Eutectisch punt
- oplosbaarheid



Vloeistof-vast-evenwichten

Kenmerken

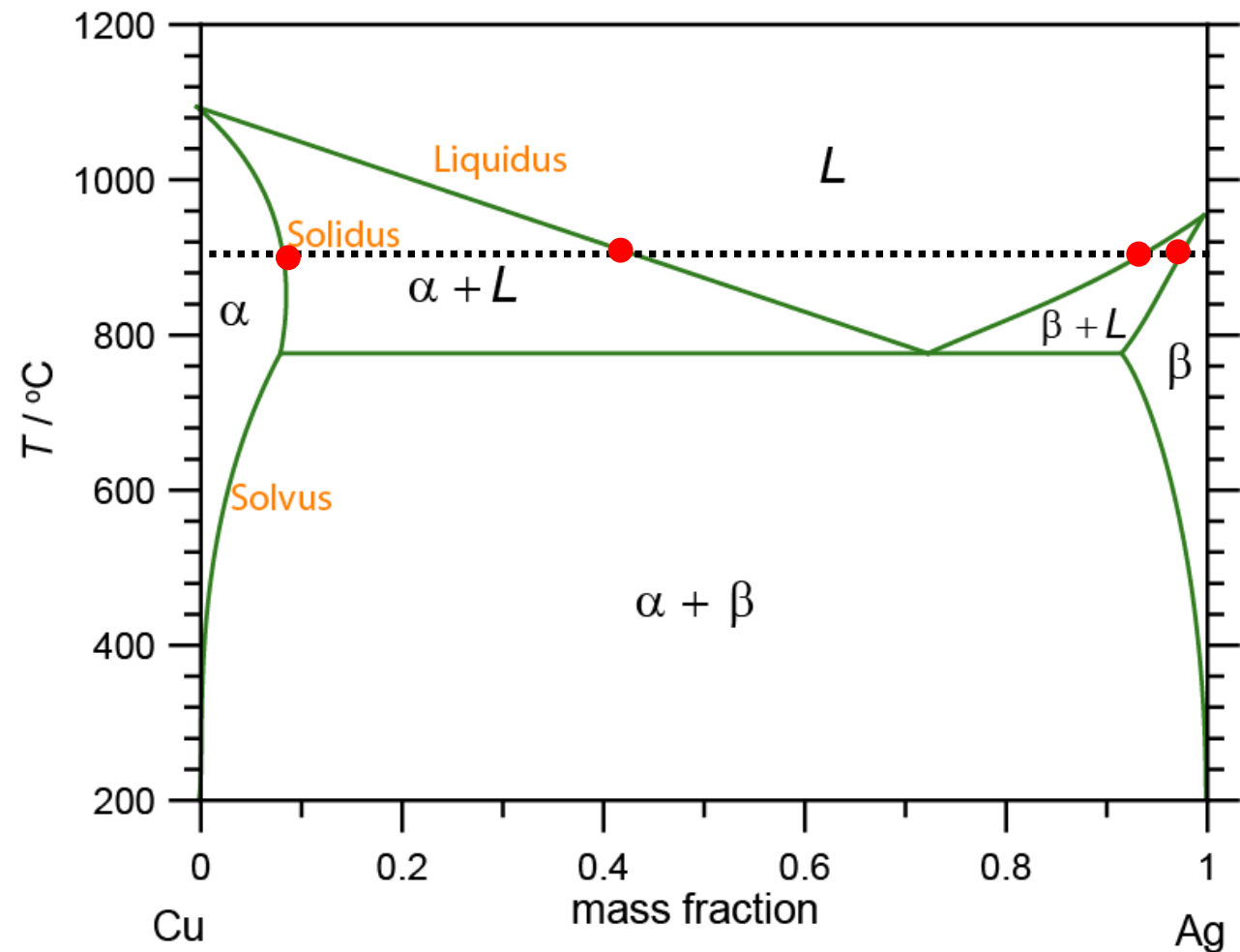
- Eutectisch punt
- oplosbaarheid



Vloeistof-vast-evenwichten

Kenmerken

- Eutectisch punt
- oplosbaarheid



Vloeistof-vast-evenwichten

Kenmerken

- Verbinding
- Eutecticum
- Incongruent smeltpunt

